

Рис. 2. Спектр, полученный на детекторе с мишенью из  $\text{Li}^6$  при детектировании нейтронов, сопровождающихся  $\gamma$ -излучением (1); спектр  $\alpha$ -частиц с  $E_\alpha = 5,15 \text{ MeV}$ , снятый для калибровки каналов анализатора (2).

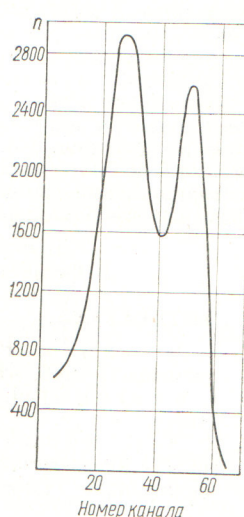


Рис. 3. Аппаратурный спектр осколков деления  $\text{U}^{235}$  на тепловых нейтронах реактора ИРТ-М при мощности дозы  $\gamma$ -излучения 0,01—10  $\mu\text{р/сек}$ .

рис. 3 представлен амплитудный спектр сигналов детектора нейтронов с радиатором из  $\text{U}^{235}$ . Спектр снят в тех же условиях, что и в предыдущем случае.

Сигнал детектора имеет характерную для реакции деления форму. Пик, соответствующий меньшей энергии осколков деления, имеющих большее массовое число и заряд, более широкий.

Исследования показали, что характер спектра, показанного на рис. 3, полностью сохраняется при увеличении мощности дозы  $\gamma$ -излучения до 10  $\mu\text{р/сек}$ .

Из полученных результатов следует, что однотипные полупроводниковые детекторы нейтронов (в данном случае — поверхностью-барьерные) в зависимости от типа радиатора обладают различными свойствами. Детектирование нейтронов с использованием радиаторов, дающих легкие заряженные частицы с малой энергией, практически невозможно в условиях даже небольшого фона  $\gamma$ -излучения. Однако величина этого фона может быть значительной и при этом не сказываться на работе детектора, если использовать в качестве радиатора вещества, в которых нейтроны вызывают реакцию деления.

В заключение авторы выражают глубокую благодарность А. П. Ландсману за интерес к работе и обсуждение результатов, Ю. К. Федорчуку — за помощь в измерениях.

Поступило в Редакцию 3/VII 1967 г.  
В окончательной редакции 22/II 1968 г.

## ЛИТЕРАТУРА

- Дж. Дирили, Д. Нортроп. В сб. «Полупроводниковые счетчики ядерных излучений». М., «Мир», 1966, стр. 258.
- T. Love, R. Muggay, Trans. IRE, NS-8, No. 1 (1961).

## Рентгеноструктурное изучение системы $\text{UO}_2 - \text{UCl}_4 - \text{KCl}$

Н. С. МАРТЫНОВА, С. С. ТОЛКАЧЕВ

УДК 543.422.8

Термографическое исследование системы  $\text{UO}_2 - \text{UCl}_4 - \text{KCl}$  [1] дополнено рентгеноструктурным анализом твердых фаз. Смеси заданного состава в запаянных ампулах выдерживались в течение 2 ч в расплавленном состоянии и 30—35 ч при температуре, которая несколько ниже температуры фазового перехода. В условиях сухой атмосферы сплавы изменялись в ступике и помещались в кюветы, защищающие их от воздействия воздуха [2]. Съемка производилась на диф-

### Рентгенограмма тройного соединения $\text{KCl} \cdot \text{UO}_2 \cdot \text{UCl}_4$

Номер линии	Относительная интенсивность	Межплоскостное расстояние, $k\text{\AA}$	Номер линии	Относительная интенсивность	Межплоскостное расстояние, $k\text{\AA}$
1	60	4,41	6	80	2,65
2	80	3,39	7	20	2,58
3	100	3,15	8	60	2,50
4	30	3,03	9	20	2,42
5	40	2,87	10	10	2,40

рактометре УРС-50-И на медном излучении с никелевым фильтром.

В точке, соответствующей составу  $\text{KCl} \cdot \text{UO}_2 \cdot \text{UCl}_4$ , рентгенограмма представляет собой такой выбор межплоскостных расстояний, который исключает не только смесь данных веществ, но и фазы  $\text{UOCl}_2$ . Таким образом, этому продукту соответствует характерная структура и его можно считать индивидуальным соединением. Рентгенограмма тройного соединения  $\text{KCl} \cdot \text{UO}_2 \cdot \text{UCl}_4$  приведена в таблице.

Термический анализ системы  $\text{UO}_2 - \text{UCl}_4 - \text{KCl}$  [1] позволяет считать, что тройное соединение  $\text{KCl} \cdot \text{UO}_2 \cdot \text{UCl}_4$  образуется из компонентов системы в твердой фазе при температуре 360—370° С.

Поступило в Редакцию 6/X 1967 г.

## ЛИТЕРАТУРА

- Н. С. Мартынова, И. В. Василькова, М. П. Сусарев. «Атомная энергия», 18, 616 (1965).
- Н. С. Мартынова. Кандидатская диссертация, Л., 1968 г.